

量 子 力 学

成都電訊工程學院

北京科学教育出版社

1961.7.

量子力学

成都电讯工程学院选编

北京红山印刷厂印

开本787×1092 $\frac{1}{16}$ 字数269,000

印数1—840 1961年7月印

定价：1.35元

定价：1.35元

量子力学引言

經典理論是从宏觀方面總結出來的。這與宏觀粒子的特性有著十分密切的關係。宏觀粒子的基本特性是：

- (1) 可以辨別。
- (2) 座標與衝量同時具有確定值。
- (3) 其運動符合牛頓運動方程。

本世紀初在實踐的過程中發現了許多新奇的實驗，它們是

- (1) 黑體輻射。
- (2) 原子光譜。
- (3) 光電效應、康普頓效應。
- (4) 電子衍射。

當我們應用經典理論企圖來解釋這些問題時，遇到的是不可克服的困難。為了解決這些問題，在這些實驗的基礎上，逐漸由“普朗克的量子假設”、“愛因斯坦的光子假設”形成了量子力学的基礎。

鑑於以上事實，經過多方面的研究，確定了微觀粒子的特性——波動性。

由於微觀粒子具有波動性，就使得我們不能再應用經典理論來研究微觀領域內的運動問題。因之在微觀領域內，必須重新建立異於經典理論的，和有系統的而能解決全部微觀運動問題的新理論——這就是量子力学。

量子力学的建立，是與微觀粒子的特性分不開的。總結微觀粒子的特性如下：

- (1) 不可辨別——全同的。
- (2) 座標與衝量不同時具有確定的值。
- (3) 其運動符合薛定諤方程。

在經典領域內粒子的“運動狀態”是用座標與衝量的集合來描述的。在微觀領域中，由於微觀粒子具有波動性，就再也不能應用上述經典方法來描述其運動狀態。而必須應用新的方法來描述其運動狀態。在微觀領域內，我們將引入新的概念——波函數，通過波函數來描述微觀領域中的“量子態”。

根據上述情況，在微觀領域中的物理量之間的關係是與經典領域中物理量之間的關係不同的。同時在量子力的建立過程中，我們希望量子力学的組織系統能盡量的接近經典力学。由於以上的這個原因，在量子力学中我們必須應用新的數學概念來描述微觀領域中的物理量。就是這樣我們引入了新的數學概念——算符，使得每一物理量與其相對應的都有一算符，該算符的平均值即表示物理量。

從微觀粒子的特性——波動性、表示微觀粒子量子態的波函數、表示某一物理量的算符等這些基本概念出發。我們建立了在量子領域內的運動方程——薛定諤方程。

$$i\hbar \frac{\partial}{\partial t} \psi(x, t) = H \psi(x, t)$$

上式中 $\psi(x, t)$ 為表示某一量子態的波函數， H 為與總能量相對應的哈密頓算符。从

薛定諤方程我們能夠求得：表示某一量子态的波函数以及在該量子态中总能量的數值。

在一般情况下，薛定諤方程是很难有严格的解的。也就是说解薛定諤方程是較复杂而困难的。因之在量子力学中解薛定諤方程时常应用近似法。其中最主要的一种称为微扰理論。

在微觀領域內存着两大类微觀粒子：

- (1) 第一大类——玻色子。其量子态是用对称的波函数来表示的。
- (2) 第二大类——費米子。其量子态是用反对称的波函数来表示的。

这两大类微觀粒子的区别在于，玻色子不遵守保里原則，而費米子則遵守保里原則。对称与反对称波函数的引入表征了微觀粒子的全同性。

量子力学的应用是极其广泛的。量子力学的建立是近代科学中一个极 其重要的成就。由于量子力学的建立使得能更深入地来研究原子結構中的問題。这样量子力学的建立推动了許多科学向新的阶段发展。

总结来講，微觀粒子与宏观粒子是具有基本上、本質上不同的性质。微觀粒子不是宏观粒子在体积上质量上无限的縮少。而是与宏观粒子有着質的区别。这一点在学习量子力学的过程中是极其重要的。

量子力学目录

引言

第一章 量子力学的实验基础

§ 1	绝对黑体的热辐射及普朗克假設	(1)
§ 2	光的量子本性	(3)
§ 3	原子性	(7)
§ 4	玻尔理論	(9)
§ 5	德布罗意波	(12)
§ 6	显示微观粒子具有波动性的一些实验	(15)

第二章 量子力学的基础

§ 7	德布罗意波的统计解释	(18)
§ 8	波函数的归一化	(20)
§ 9	量子态的迭加原理	(22)
§ 10	平均值	(25)
§ 11	量子力学中的统计系统——量子系统	(27)
§ 12	测不准关系	(29)
§ 13	唯心论者对测不准关系的看法及其批判	(35)
§ 14	测量仪器的作用	(36)

第三章 力学量用算符表示

§ 15	线性自轭算符	(38)
§ 16	算符的本征值及本征函数	(41)
§ 17	测量结果的几率	(44)
§ 18	各种力学量可以同时确定的条件	(45)
§ 19	各种力学量的算符	(46)

第四章 运动方程式

§ 20	薛定谔波动方程	(52)
§ 21	定态	(53)
§ 22	粒子数目的守恒	(55)
§ 23	算符对于时间的导数	(56)
§ 24	量子力学中的守恒定律	(58)
§ 25	恩费斯脱公式	(59)
§ 26	从量子方程到牛顿方程	(61)

第五章 薛定谔方程的简单应用

§ 27	势阱中的粒子.....	(64)
§ 28	线振子.....	(68)
§ 29	势垒的透射和反射.....	(73)
§ 30	一定宽度的势垒.....	(77)
§ 31	类氢原子.....	(80)
§ 32	动量矩的量子化.....	(88)
§ 33	电子在周期场中的运动.....	(89)

第六章 微扰理论及其简单应用

§ 34	无退化时的定态微扰理论.....	(98)
§ 35	氢原子的基本能量.....	(101)
§ 36	有退化时的定态微扰理论.....	(104)
§ 37	氢原子的一级斯塔克效应.....	(107)
§ 38	量子跃迁.....	(111)
§ 39	散射理论——波恩近似法.....	(115)

第七章 表象与电子自转

§ 40	量子系统的态的各种表象.....	(123)
§ 41	在各种表象中的算符——矩阵.....	(125)
§ 42	矩阵的演算.....	(129)
§ 43	在矩阵形式下算符的平均值.....	(131)
§ 44	原子中电子自转的概念.....	(134)
§ 45	电子的自转算符.....	(136)
§ 46	自转波函数.....	(139)

第八章 原子与分子结构

§ 47	全同粒子的特性.....	(141)
§ 48	全同粒子的波函数.....	(144)
§ 49	玻色子、费米子、保里原则.....	(145)
§ 50	门捷列夫周期表理论.....	(148)
§ 51	氢原子的交换能.....	(152)
§ 52	氢原子.....	(156)
§ 53	价键的基本概念.....	(163)

附录

§ 1	波的一般性质.....	(168)
§ 2	波包的基本概念.....	(171)

第一章 量子力学的实验基础

經典理論是从宏观規律中总结出来的，这与宏观粒子的特性，有着密切的联系。經典力学最后总结成最普遍的拉格朗日方程的形式。經典电磁学最后总结成最普遍的麦克斯韦方程。当我们把經典理論应用到原子結構問題上，遇到了不可克服的困难。

根据經典理論，带电微粒，当其在作加速运动时，必伴随着能量的辐射。氢原子中的电子，当其繞核旋转时，有着向心的加速度，因之必伴随着能量的辐射。如果电子繞核旋转是一个圆周运动。则在氢原子中，电子所具有的总能量 ε 必为：

$$\varepsilon = -\frac{e^2}{2r}$$

上式中 e 为电子的电荷， r 为圆周运动的半径。从此，我們将明显的看到，电子不断繞核旋转，不断辐射能量。因之使其本身所具有的总能量，不断减少。这就意味着繞核旋转的半径将不断缩小。最后，电子必将与核产生碰撞，而导致整个原子的毁灭。这一理論上的結果，是完全錯誤的。电子繞核旋转，是一个稳定状态。

在此同时，为了要解釋黑体辐射的規律，普朗克引入了“量子假設”。爱因斯坦为了解釋“光电效应”引入了“光子假設”。这样就基本上形成了“量子概念”。后来，玻尔即应用以上的“量子概念”，来解釋最简单的原子結構。在这些最简单的类氢原子問題上，得到了光輝的成就。这就指出，在研究原子結構以及其他微观領域內的問題时，不能再应用經典理論，而必須应用“量子理論”。

S 1 絶对黑体的熱辐射及普朗克假設

如果有一物体，处于任何溫度时，对于任何波长的吸收系数皆为1。那末，这物体就称为**絕對黑体**。

現在讓我們來考慮一个由絕對黑体牆壁組成的空腔。当其被加热到某一溫度 T 时，壁內原子中的电子，将作有加速度的諧振运动。此时，空腔壁将辐射一定波長範圍的电磁波。由于电磁波在腔內以有限速度傳播着，因之在空腔介质中，必儲存着一定的能量。其能量密度可由下式决定之：

$$u = \frac{1}{8\pi} (E^2 + H^2)$$

上式中， E 为空腔介质中的電場强度， H 为空腔介质中的磁場强度。

在辐射的同时，空腔壁亦将吸收儲存在空腔中的能量。当在一定溫度时，在单位時間內，由单位面积腔壁辐射的能量等于其吸收的能量时，称为**平衡辐射**。在平衡辐射时，在单位時間內，由单位面积腔壁所辐射的，在頻率範圍 ν 到 $\nu + d\nu$ 內的能量 du_ν ，必將正比于該頻率間隔 $d\nu$ 。因之我們有

$$du_\nu = \rho\nu d\nu \quad (1-1)$$

(1-1)式中的 $\rho\nu$ 称为**光譜密度**。它表示在单位時間內，由单位面积腔壁，在頻率 ν 附近，在单位頻率間隔內所辐射的能量。

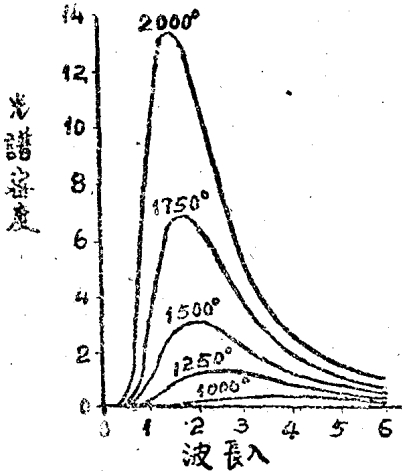


图1-1 絶對黑体 $\rho\nu \sim \lambda$ 曲綫

在一定溫度T时，光譜密度 $\rho\nu$ 与波長 λ 的关系，如图1-1所示。从實驗中我們得知， $\rho\nu$ 与溫度T及頻率 ν 有关。因之

$$\rho\nu = \rho\nu(T, \nu) \quad (1-2)$$

想要完全根据經典理論，得出光譜密度 $\rho\nu(T, \nu)$ 这一函數的數學形式，是不可能的。

約在1900年，对表示絕對黑体輻射規律的(1-1)式，普朗克找到一个开始时是純粹經驗的公式：

$$\rho\nu d\nu = \frac{8\pi h\nu^3}{e^3} \cdot \frac{1}{e^{h\nu/kT} - 1} d\nu \quad (1-3)$$

这个公式与實驗的數據相符合。以后，为了从

理論上推导出，与實驗結果相符合的，表示絕對黑体輻射規律的(1-3)式。普朗克作了如下的假設：

腔壁內作諧振运动的电子，簡称綫振子。这些綫振子，只能处于某些特定的状态，在这些特定的状态中，它們的能量，必为最小能量 ε_0 的整數倍數。亦即

$$\varepsilon_0, 2\varepsilon_0, 3\varepsilon_0, \dots, n\varepsilon_0, \quad n = 1, 2, 3, \dots$$

在輻射或吸收的过程中，綫振子从这些状态之一，过渡到其他状态，飞跃的跨过中間的那些状态。(跃迁)

这样，根据經典統計理論，綫振子具有能量 $n\varepsilon_0$ 的几率必为 $e^{-n\varepsilon_0/kT}$ 。由此，綫振子的平均能量 $\bar{\varepsilon}$ ，将可由下式計算之

$$\begin{aligned} \bar{\varepsilon} &= \frac{\sum_{n=0}^{\infty} n\varepsilon_0 e^{-n\varepsilon_0/kT}}{\sum_{n=0}^{\infty} e^{-n\varepsilon_0/kT}} \\ &\therefore \sum_{n=0}^{\infty} n e^{-n\alpha} = -\frac{d}{d\alpha} \sum_{n=0}^{\infty} e^{-n\alpha} = -\frac{d}{d\alpha} \frac{1}{1-e^{-\alpha}} = \frac{e^{-\alpha}}{(1-e^{-\alpha})^2} \end{aligned}$$

代入上式：所以

$$\begin{aligned} \bar{\varepsilon} &= \frac{\varepsilon_0 e^{-\varepsilon_0/kT}}{(1-e^{-\varepsilon_0/kT})^2} \cdot (1-e^{-\varepsilon_0/kT}) \\ &= \frac{\varepsilon_0 e^{-\varepsilon_0/kT}}{1-e^{-\varepsilon_0/kT}} = \frac{\varepsilon_0}{e^{\varepsilon_0/kT} - 1} \end{aligned}$$

根据經典电磁理論的計算，在頻率範圍 $\nu - \nu + d\nu$ 間隔內，將共有 $\frac{8\pi\nu^2}{c^3} d\nu$ 个本征振动①。因为每一本征振动的平均能量 $\bar{\varepsilon}$ 为 $\frac{\varepsilon_0}{e^{\varepsilon_0/kT} - 1}$ ，故在該頻率範圍內所輻射的能量

$$d\nu \text{ 必为: } d\nu = \rho\nu d\nu = \frac{8\pi\nu^2}{c^3} \cdot \frac{\varepsilon_0}{e^{\varepsilon_0/kT} - 1} d\nu \quad (1-4)$$

比較(1-3)与(1-4)两式，为了要使理論的推导能与實驗的結果完全很好

的符合。則綫振子所能具有的最小能量 \bar{E}_0 ，必等于

$$\bar{E} = h\nu \quad (1-5)$$

上式中 h 称为普朗克常數，它在近代物理中佔有重要的地位。

$$h = 6.53 \times 10^{-27} \text{ 尔格·秒}$$

这一常數，在宏观領域內是不存在的。

根据經典能量均分定律的概念 $\bar{E} = kT$

$$\text{根据普朗克假設} \quad \bar{E} = \frac{h\nu}{e^{h\nu/kT} - 1}$$

也就是说，根据普朗克的假定，平均能量将随着頻率的增加而減小。

在普朗克的假設中，能量已不一定是連續的了，而是具有分立的、量子化的數值。这些都表示出，普朗克假設与經典理論之間，有着深刻的矛盾。因之量子概念的提出，表征着在物理的发展上，是进入了一个新的紀元。

§ 2 光的量子本性

2—1：光电效应：

所謂光电效应，即在光的作用下，电子从金属物体表面逸出的現象。

依据图 1—2 的装置，在1888—1890年之間，A. Г. 斯托列托夫，对光电效应作了詳尽的研究。对于光电效应的重要規律，我們可以总结如下：

(1) 光电子所具有的能量与入射光的强度无关，而只决定于光的頻率。

(2) 当投射到某一金属表面的光，当其頻率小于某一极限时，不論光的强度有多大，都不能产生光电子。

(3) 光电子的數目将与光的强度有关。

(4) 从光的照射，到光电子的产生，几乎不需要时间，根据实验，这一时间将小于 10^{-9} 秒。

为了要解釋上述的光电效应。爱因斯坦指出，假如把光看作是每个具有能量为 $h\nu$ 的光子流，也就是說采用純粹的粒子觀點。将能很好的解釋以上光电效应的各项重要性質。

爱因斯坦指出，光子具有以下特性：

(1) 具有能量 $\epsilon = h\nu$

(2) 静止质量为零 $m_0 = 0$

(3) 具有冲量 $\vec{P} = \frac{\vec{k}\nu}{C} = h/\lambda = h\vec{k}$ \vec{k} = 波矢

由于光子具有一定的冲量，当光子流遇到任何阻碍物时，必在此阻碍物上施加压力，如同气体分子在容器壁上的碰撞，形成气体的压力一样。卓越的俄罗斯物理学家 Л. Н. 列別捷夫的著名实验，肯定光压的压强，在數量上符合 $P = \frac{h\nu}{C}$ 这一公式。

当引入了光子概念以后，对于光作用在任何体系上（金属表面上），可以将其看作

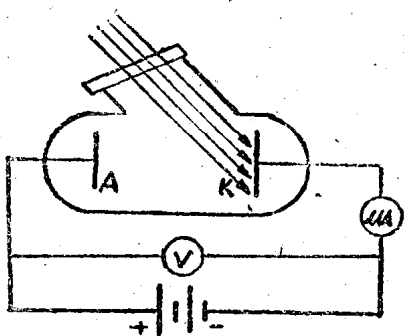


图 1—2 光电效应实验装置

“粒子的相互碰撞”。这时，能量守恒与冲量守恒定律，应确信仍然是正确的。

如果我們用 $\vec{\epsilon}$ 和 \vec{P} 来表示某体系在碰撞前的能量和冲量，又用 $\vec{\epsilon}'$ 和 \vec{P}' 来表示这体系在“碰撞”后的能量和冲量。其次用 $h\nu$ 和 hK 表示光子在“碰撞”前的能量和冲量，用 $h\nu'$ 和 hK' 表示光子在“碰撞”后的能量和冲量。則根据能量守恒与冲量守恒定律得：

$$\begin{aligned} h\nu + \vec{\epsilon} &= h\nu' + \vec{\epsilon}' && \text{标量方程} \\ \vec{hK} + \vec{P} &= \vec{hK}' + \vec{P}' && \left. \begin{array}{l} \text{矢量方程} \\ \end{array} \right\} \end{aligned} \quad (2-1)$$

根据上述的基本概念，光投入在金属表面上，我們可将其看作光子与电子的相互“碰撞”。在此过程中，对(2-1)式的能量守恒定律可写为：

$$h\nu = \frac{1}{2}mv^2 + A \quad (2-2)$$

在碰撞的过程中，光子将其能量全部傳给了电子。使电子克服逸出功A后，逸出表面，并具有初动能 $\frac{1}{2}mv^2$ 。

根据(2-2)式，我們就能夠很容易地来解釋光电效应的性質。由于(2-2)式所表示的是一直线方程，因之光电子的初动能 $\frac{1}{2}mv^2$ 将与频率 ν 成直线关系。投射光的频率愈高，则所产生的光电子的初动能就愈大。同时，我們看到，如果光电子的初动能为零，则得一临界频率 ν_0 。

$$\nu_0 = \frac{A}{h} \quad (2-3)$$

在 $\nu < \nu_0$ 的情况下，光电子的初动能将变为負值。亦即表示在这种情况下，将不会产生光电效应。再者，当投射光的强度愈强，则表示光子流內的光子數愈多，因之在发生碰撞后，产生了更多的光电子。

2—2 康普頓效应：

当伦琴射线，尤其是 γ 射线散射时，发现波长有了改变，在散射的过程中产生了新的較长的波长，它的穿透能力較差。此即謂之康普頓散射。按照經典波动理論，散射机构是这样的，由于入射电磁場引起电子的振动，因此很自然的期待着散射辐射（电子受外场作用振动后所产生的辐射）的频率，必定与入射电磁場的频率相同。要解釋散射后出現新的較长的波长，必須应用光子概念。亦即把入射的伦琴射线看作具有一定能量和一定冲量的微粒。

觀察康普頓效应的實驗装置如图：1—3 所示。在實驗中是以石墨作为散射物体，以一固定的M_g的K线作为入射伦琴射线，在不同的散射角 Φ ，觀察在散射后不同波长的辐射强度，得其結果如图1—4 所示。因之，对

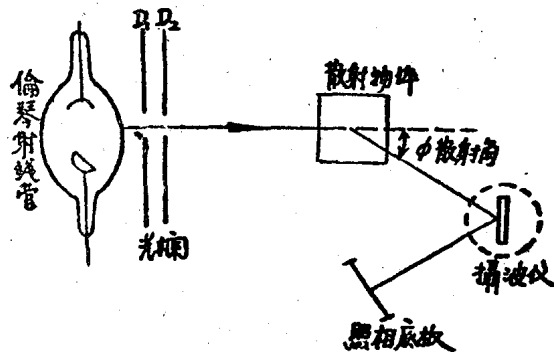


图 1—3 觀察康普頓效应的實驗装置

石墨的康普頓散射，我們可以得到以下的特点：

(1) 在散射輻射中，存在着有原來激發輻射的波長，以及移向波長較長方面的一個新波長。

(2) 新波長增加的數值與散射角有關，它將隨着散射角的增大而增大。

(3) 當散射角增大時，沒有位移的譜線強度降低，而新的，有位移的譜線強度增強了。

現在讓我們用光子概念來解釋康普頓效應：首先我們把入射倫琴射線看作為具有一定能量和一定衝量的光子。倫琴射線對散射物体的作用可看作“碰撞”。在碰撞前，散射物体內的電子可以假定其為靜止的，其衝量亦必為零。光子的起始衝量等於 $\vec{h\nu}_0/C$ 。碰撞後電子獲得衝量 $\vec{m\nu}$ ，此處 m 為電子的運動質量。碰撞後光子的衝量將變為 $\vec{h\nu}/C$ 。

根據(2-1)式，對在上述碰撞過程中的能量守恆與衝量守恆定律，可以寫為：

$$\left. \begin{aligned} h\nu_0 + m_0 c^2 &= h\nu + \frac{m_0}{\sqrt{1-(v/c)^2}} \cdot C^2 \\ \frac{\vec{h\nu}_0}{C} + 0 &= \frac{\vec{h\nu}}{C} + \frac{m_0}{\sqrt{1-(v/c)^2}} \cdot \vec{v} \end{aligned} \right\} \quad (2-2)$$

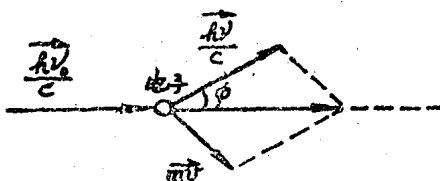


圖 1-5 在康普頓效應中的矢量圖

為了計算，應以矢量在座標軸方向投影的兩個標量方程來代替(2-2)式中的矢量方程。但是我們將不用這個方法來處理問題。首先我們將(2-2)式中的矢量方程畫成如圖 1-5 所示的矢量圖。由余弦定律，我們立即能夠確定 $m\nu$ 的數值：

$$\frac{m_0^2}{1-(V/C)^2} V^2 = \frac{h^2 \nu_0^2}{c^2} + \frac{h^2 \nu^2}{c^2} - 2 h^2 \frac{\nu_0 \nu}{c^2} \cos \phi \quad (2-3)$$

這樣(2-3)式將與(2-2)式中的標量方程構成了一對聯立方程。在此聯立方程中，由於 m_0 、 C 、 h 、 ν_0 、 ϕ 皆為已知數。故解此聯立方程即能求得 ν 與 ν' 。解以上聯立方程求得：

$$\nu = \frac{\nu_0}{1 + 2 \frac{h\nu_0}{m_0 c^2} \sin \frac{2\phi}{2}} \quad (2-4)$$

從新產生的頻率 ν ，我們即能很容易地求得新波長的位移 $\Delta \lambda$ 。因為

$$\begin{aligned} \Delta \lambda &= \lambda - \lambda_0 = \frac{c}{\nu} - \frac{c}{\nu_0} = c \left[\frac{1}{\nu} - \frac{1}{\nu_0} \right] \\ &= c \left[\frac{1 + 2 \frac{h\nu_0}{m_0 c^2} \sin^2 \frac{\phi}{2}}{\nu_0} - \frac{1}{\nu_0} \right] \\ &= 2 \cdot \frac{h}{m_0 c} \cdot \sin^2 \frac{\phi}{2} \end{aligned} \quad (2-5)$$

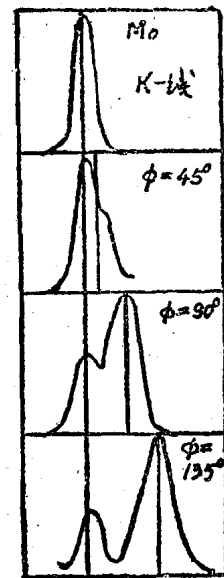


圖 1-4 石墨的康普頓效應

在(2-5)式中，量纲为长度的数量 $\frac{h}{m_0 c}$ 是三个普适常数的组合，它称为康普顿波长并用 Λ 表示之：

$$\Lambda = \frac{h}{m_0 c} = \frac{6.624 \times 10^{-34}}{9 \times 10^{-30} \times 2.99 \times 10^8} = 0.0242 \text{ Å}^{\circ}$$

最后我们得到，在散射中波长的位移 $\Delta \nu$ 为：

$$\Delta \lambda = 2 \Lambda \sin^2 \frac{\Phi}{2} = 0.048 \sin^2 \frac{\Phi}{2} \quad (2-6)$$

从这公式中我们看到，对于 $\Phi = 0^\circ$ ， $\Delta \lambda = 0$ 。对于 $\Phi = 90^\circ$ ， $\Delta \lambda = \Lambda$ 。最后对于 $\Phi = 180^\circ$ ， $\Delta \lambda = 2 \Lambda$ ，因之 $\Delta \lambda$ 将随散射角 Φ 的加大而增加，这是很明显的。

(2-6) 式的结果首先是由康普顿求得的。康普顿与吴有训曾把他们的测量结果与(2-6)式所表示的理论推导相对比。他们得到了与理论完全符合的结果。所以康普顿吴有训的实验指出，光子冲量存在的假定是完全正确的。而且光子的冲量之值由

$$\vec{p} = \frac{\vec{k}\nu}{c} \text{ 所决定。}$$

最后，我们必须指出：在散射的过程中，电子所获得的能量 E_k 必为，

$$E_k = h\nu_0 - h\nu = h\Delta\nu$$

因之，电子所获得的能量 E_k 与入射光子能量的比值将等于：

$$\frac{E_k}{h\nu_0} = \frac{\Delta\nu}{\nu_0}$$

$$\text{由于 } \Delta\nu = \nu_0 - \nu = \frac{c}{\lambda_0} - \frac{c}{\lambda_0 + \Delta\lambda} = \frac{c}{\lambda_0} \cdot \frac{\Delta\lambda}{\lambda_0 + \Delta\lambda} = \nu_0 \frac{\Delta\lambda}{\lambda_0 + \Delta\lambda}$$

$$\therefore \frac{E_k}{h\nu_0} = \frac{\Delta\nu}{\nu_0} = \frac{\Delta\lambda}{\lambda_0 + \Delta\lambda}$$

应用(2-6)式的关系，我们得：

$$\frac{E_k}{h\nu_0} = \frac{2 \Lambda \sin^2 \frac{\phi}{2}}{\lambda_0 + 2 \Lambda \sin^2 \frac{\phi}{2}} \quad (2-7)$$

从(2-7)式，我们能够计算入射光子的能量将有多少为电子所获得。在散射角 $\phi = 90^\circ$ 时，如入射的为硬伦琴射线，其波长 $\lambda_0 = 10 \text{ Å} = 0.24 \text{ Å}^{\circ}$ ，则此时 $\frac{E_k}{h\nu_0}$ 将等于 $\frac{1}{11}$ 。但在同样散射角情况下只是入射伦琴射线的波长 $\lambda_0 = \Lambda = 0.024 \text{ Å}^{\circ}$ ，则此时 $\frac{E_k}{h\nu_0}$ 将等于 $\frac{1}{2}$ 。由此可见，入射伦琴射线的波长愈短，则每一光子所具有的能量就愈大。根据(2-7)式的计算，入射伦琴射线的波长愈短，则电子将从光子那里获得其全部能量的較大部分。反之，入射伦琴射线的波长愈长，则电子只将从光子那里获得其全部能量的較小部分。

2-3：光的两重性

在光的干涉与衍射实验中，我们可以根据波的概念来描述。在光电效应康普顿效

應等實驗中，對於這一部分現象，我們可以根據粒子的概念來描敘。我們必須着重指出：只用波的概念，或只用粒子的概念，都不能描述和解釋光的全部現象和行為。

因之，我們可以得出這樣的結論：光不是波，也不是粒子的集合。它是更加複雜的，把波動性和粒子性統一於其中的一個客體。光子按粒子性定律輻射和吸收，而按波動性的定律來傳播。表示其粒子性的，我們用能量 E 與衝量 \vec{P} 。表示其波動性的，我們用頻率 ν 與波長 λ （或波矢 \vec{k} ）。波動性與粒子性是同一客體的屬性，因之波動性與粒子性之間的關係，由下式表示之：

$$\left. \begin{array}{l} E = h\nu \\ \vec{P} = \vec{h}\vec{k} \end{array} \right\} \quad (2-8)$$

根據光的電磁理論，在空間某點的平均能量密度 $\bar{\epsilon}$ 必為：

$$\bar{\epsilon} = \frac{1}{16\pi} (E_0^2 + H_0^2)$$

上式中 E_0 、 H_0 分別為電場強度與磁場強度的最大值。從光子的基本概念得知，在 $\bar{\epsilon}$ 大的那些地方，光子數也就愈多。由於一個光子的能量等於 $h\nu$ ，因此在單位體積內的量子數 n 必為：

$$n = \frac{1}{16\pi} \cdot \frac{(E_0^2 + H_0^2)}{h\nu} \quad (2-9)$$

(2-9) 這個式子，就是這樣，把波的概念和粒子的概念聯繫起來。由該式，我們更進一步可以明顯的看到，假如某處的場較強，則在該處發現光子的几率就愈大。在場較弱的地方，發現光子的几率就愈小。在這裡的几率，應該理解為，在所選定的體積元內發現的光子數與全部空間光子總數之比。

最後，根據(2-9)式，我們必須着重指出：在單位體積內發現光子的几率，必與波的振幅的平方成比例。

S 3 原子性

在微觀領域內，我們所遇到的是一系列的基本粒子。這些基本粒子是電子、質子、中子、正電子。同樣，光子與微中子也是基本粒子。近幾年來又發現了介子。同一類基本粒子的每一個的質量、電荷，以及其他性質都是相同的，不能被改變。

原子性是微觀領域內的一個基本特性。不僅基本粒子具有原子性，而且由基本粒子所組成的複合粒子，例如原子、分子、原子核等也都具有原子性。

這種原子性是由以下兩種情況所引起的：

(1) 每種複合粒子是完全由確定的基本粒子所組成的。

(2) 複合粒子的態是不連續的。

在微觀領域中，複合粒子只能處於不連續態這一事實，可由佛蘭克與赫芝實驗及原子光譜中明顯的看出。

3—1· 佛兰克与赫芝实验：

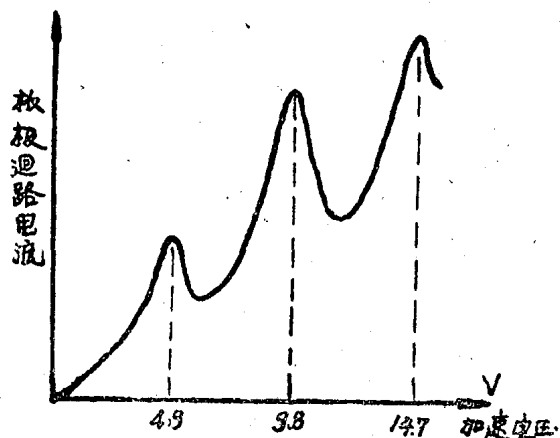


图 1—6 佛兰克与赫芝实验示意图

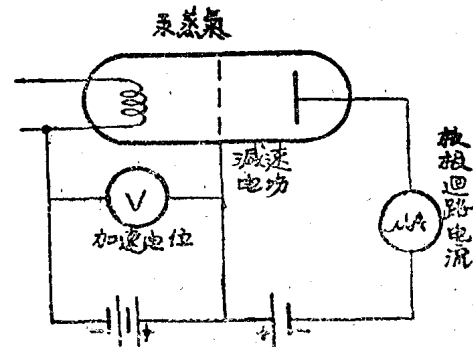


图 1—7 兰克佛与赫芝实验的结果

佛兰克与赫芝实验的装置如图 1—6 所示，由阴极灼热发射出来的电子，经过阴极与栅极间加速电位的加速，便获得了一定的速度，亦即获得了一定的动能。此时电子所获得的动能必为： $电子所获得的动能 = V$ 电子伏，
上式中 V 为使电子加速的加速电位。

板极电位略低于栅极电位，因之对电子来讲，在栅极与板极间存在着减速电场。在阴极与栅极间的加速电位小于 4.9 伏时，电子由于加速所获得的动能必小于 4.9 电子伏。当其与汞 (Hg) 蒸气的假电子发生碰撞时，并不交换能量。也就是说并不把能量传递给汞的假电子。此时由阴极发射出来的电子，是具有足够大的动能，来克服栅极与板极间的减速电场，使其能到达板极。因之在加速电位小于 4.9 伏范围内，随着加速电位的增加，板极回路内的电流亦将如图 1—7 所示随着增加。

待栅极与阴极间加速电位增加到 4.9 伏时，发现板极回路电流迅速下降。这即表示，由阴极发射出来的电子，经过加速，获得 4.9 电子伏的能量。在与汞的假电子碰撞时，与其交换了能量。也就是说将其所具有的能量，传递给了汞的假电子。因之此时，由阴极发射出来的电子，由于损失了能量，不能克服栅极与板极间的减速电场。因之不能再到达板极，所以极间回路内的电流即迅速下降。

实验的全部结果，如图 1—7 所示。实验指出，在加速电位为 9.8 伏时，板极回路电流再次迅速下降。从而可以看到，由阴极发射出来的电子，经过加速后，获得 9.8 电子伏的能量。当其相继二次与二个汞原子的假电子相碰撞后，损失了能量。因之不能再到达板极，致使板极回路内电流，又再次迅速下降。

佛兰克与赫芝实验充分表明：汞原子内的假电子，只能处于不连续的状态。汞原子中，第一激发态的能量，将比基态大 4.9 电子伏。

3—2 原子光谱

在上半世纪的下半期，就已经肯定：原子发射的是线光谱，而分子发射的是带光谱。

特别是在氢原子所发射的光谱中，发现了五个不同的光谱系。每一系都由若干条谱

綫組成。由實驗結果得知，對於氫原子的這五個光譜系，可用以下的統一公式表示之：

$$\text{波數} = \nu = R \left(\frac{1}{m^2} - \frac{1}{n^2} \right) \quad (3-1)$$

上式中的 ν 表示波數。它表示在單位長度內，所包含的波長數。

$$\therefore \text{波數} \quad \nu = \frac{1}{\lambda} \quad (3-2)$$

(1) 在頓曼系中	$m = 1$	$n = 2, 3, \dots$
(2) 在巴爾末系中	$m = 2$	$n = 3, 4, \dots$
(3) 在帕邢系中	$m = 3$	$n = 4, 5, \dots$
(4) 在布喇開系中	$m = 4$	$n = 5, 6, \dots$
(5) 在蓬德系中	$m = 5$	$n = 6, 7, \dots$

在(3-1)式中， R 為一常數。稱為里德堡常數。根據精確的實驗結果得：

$$R = 10977.581 \text{ 厘米}^{-1} \quad (3-3)$$

對於(3-1)式，我們可以將其寫為二個整數函數之差：

$$\nu = T(m) - T(n) \quad (3-4)$$

數字 $T(m)$ 、 $T(n)$ 稱為光譜項。對氫原子，所有各系的光譜項，都能表為：

$$T(m) = \frac{R}{m^2} \quad (3-5)$$

上式中 m 可取自1開始的一系列整數。

波數與頻率之間的關係是簡單的，可表為：

$$\text{頻率} = \text{光速} \times \text{波數} \quad (3-6)$$

根據§2所闡述的關於光子的基本概念，我們已知，對於輻射及吸收應該用粒子概念來描述。如果對(3-4)式的兩邊，都乘以光速 C 及普朗克常數 h ，則得：

$$h\nu = chT(m) - chT(n) \quad (3-6)$$

應該特別注意，在(3-6)式中， ν 表示輻射的頻率（而不是波數）。根據光子的基本概念， $h\nu$ 為每個輻射光子所具有的能量。所以(3-6)式的右邊，亦必代表兩個能量之差。這樣(3-6)式可進一步表為： $h\nu = \varepsilon_{\text{初}} - \varepsilon_{\text{終}}$ $(3-7)$

由氫原子，我們可以完全肯定。氫原子輻射的頻率有完全肯定的數值。這就推論到：氫原子在輻射之後，一定處於具有一定能量的態中。輻射的過程必將與兩個態相聯繫。而非常明顯的，這兩個態是不連續的。否則的話，如果氫原子可以處於連續的態中，那末它所輻射的光譜就將不是綫光譜。最後必須再着重指出。由氫原子的綫光譜這一事實出發，完全肯定了氫原子只能處於一系列的不連續的態中。

在微觀領域內，基本粒子處於不連續的態。這是與經典概念完全相矛盾的。

S 4 波爾理論

從盧瑟福的“ α 粒子通過金葉的散射”實驗，完全肯定了原子結構的模型。但是根據經典理論，不能解釋在原子中，電子繞核旋轉是處於穩定狀態。

為了要解決以上的困難，在光子假設、普朗克假設、以及其他有關基本粒子原子性

實驗結果的基礎上。1912年玻爾提出了關於原子理論的兩個基本原理。這兩個基本原理是：穩定狀態的存在、及輻射的頻率條件。

(1) 第一：原子僅能長久地處於一定的狀態——定態——在這些狀態中，雖有帶電粒子的加速度運動，但不輻射也不吸收能量。在上述這些狀態中，原子所具有的能量組成分立的系列：

$$\varepsilon_1, \varepsilon_2, \varepsilon_3, \dots, \varepsilon_n$$

這些狀態的特徵是它們本身的穩定性。由於吸收和輻射電磁波的結果（或由於碰撞的結果）。原子狀態的改變，只能從這些狀態中的任一個轉變到這些狀態中的另一個。由此可見，原子狀態的變化，是跳躍式進行的。

(2) 第二：在從一個定態過渡到另一個定態的過程中，原子輻射（或吸收）是嚴格地一定頻率的輻射。在從定態 ε_n 過渡到定態 ε_m ($\varepsilon_n > \varepsilon_m$)，所輻射出來的，或從定態 ε_m 過渡到定態 ε_n ($\varepsilon_n > \varepsilon_m$) 所吸收的，只是單色性的輻射。其頻率 ν 由下式決定之：

$$\nu = \frac{\varepsilon_n - \varepsilon_m}{h} \quad (4-1)$$

(4-1) 式稱為玻爾頻率條件。h 為普朗克常數。

以上這兩個假設，是尖銳地與經典理論相矛盾。根據第一個假設，原子內電子繞核旋轉，有向心的加速度，但不能輻射能量。根據第二個假設，輻射的頻率與電子的運動週期完全無關。總的來說，輻射的產生不是由於帶電微粒在作加速運動，而是由於原子狀態的突然改變。

從以上兩個基本假設出發，首先必須將普朗克對線振子的量子假設予以合理的推廣和普適化。再應用來處理原子結構問題。

如果 q 表示廣義座標， \vec{P} 表示與該廣義座標相對應的廣義衝量。則對於一個自由度的任何系統的普適性量子條件可表為

$$\oint P dP = nh^2 \quad (4-2)$$

$$n = 1, 2, 3, \dots$$

現在讓我們來討論一個最簡單的氫原子模型。將(4-2)式所表示的普適的量子條件應用到我們的氫原子模型上去，一個電子沿圓周軌道繞核旋轉着。圓周軌道的半徑為 r。此處作為座標，適宜於選擇表征電子在軌道上位置的極座標 φ 。相應的廣義衝量將為動量矩 $P_\phi = mr^2\dot{\varphi}$ 。我們以 ϕ 和 P_ϕ 代入(4-2)式，並注意到在圓周運動中， P_ϕ 為一常數（動量矩守恆）。那麼我們得到：

$$nh = \oint P d\phi = \int_0^{2\pi} P_\phi d\phi = P_\phi \int_0^{2\pi} d\phi = 2\pi P_\phi$$

$$\text{由此即得 } P_\phi = n \frac{h}{2\pi} \quad (4-3)$$

$$n = 1, 2, 3, \dots$$

上式中的 n 稱為量子數。

從(4-3)式我們看到，根據普適的量子條件。電子繞核旋轉，只有那些動量矩 P_ϕ 為 $\frac{h}{2\pi}$ 整數倍數的那些軌道運動，才是存在的。由於量子數 n 是一系列的正整數，所

以电子的动量矩是分立的，是不連續的。这就充分表明了电子繞核旋转只能处于不連續的状态中。

如图1—8所示，在电子圍繞电荷为 z_e 的核作圆周运动时。为了使运动轨道保持不变，则离心力必等于库仑吸力。这样：

$$\frac{mv^2}{r} = \frac{ze^2}{r^2} \quad (\text{经典概念}) \quad (4-4)$$

再根据(4—3)式的量子条件来选择动量矩得：

$$mU\gamma = n \frac{\hbar}{2\pi} \quad (\text{量子条件}) \quad (4-5)$$

从(4—4)与(4—5)这一对联立方程，我們解

得：

$$\left\{ \begin{array}{l} \gamma_n = \frac{n^2 h^3}{4 \pi^2 z e^2 m} \\ v_n = \frac{2 \pi z e^2}{n \hbar} \end{array} \right\} \quad (4-6)$$

因为电子的总能量必为其动能与位能之和：

$$\begin{aligned} \therefore \text{电子总能量} \varepsilon &= \frac{1}{2} mv^2 - \frac{ze^2}{r} = \frac{1}{2} \frac{ze^2}{\gamma} - \frac{ze^2}{r} \\ \therefore \varepsilon &= -\frac{x^2}{2\gamma} \end{aligned} \quad (4-7)$$

将(4—6)式中的 γ_n 代入(4—7)式得：

$$\begin{aligned} \varepsilon_n &= -\frac{2 \pi^2 z^2 e^4 m}{n^2 h^2} \\ n &= 1, 2, 3, \dots \end{aligned} \quad (4-8)$$

因之可見，原子的基本具有最小的能量，相当于 $n = 1$ ，这亦相当于最大的速度和最小的轨道半徑。简单的計算給出：对于氢原子 $z = 1$ 。我們得： $r_1 = 0.5 \times 10^{-8}$ 厘米 = 玻尔半徑

$$v_1 = 2.2 \times 10^8 \text{ 厘米/秒}$$

$$\varepsilon_1 = -0.22 \times 10^{-10} \text{ 尔格} = -13.6 \text{ 电子伏}$$

根据玻尔的第二个假設，原子从定态 ε_n 过渡到定态 ε_m 时($\varepsilon_n > \varepsilon_m$)，是伴随着光子的辐射，其频率必为：

$$v = \frac{2 \pi^2 z^2 e^4 m}{h^2} \left(\frac{1}{m^2} - \frac{1}{n^2} \right)$$

如将上式与(3—1)式相比較，即得：

$$\frac{2 \pi^2 z^2 e^4 m}{h^2 c} = \text{里德堡常數 R} \quad (4-9)$$

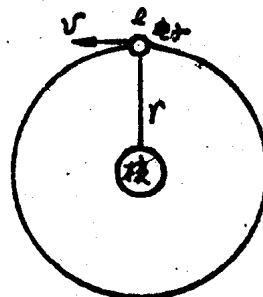


图1—8 作圆周轨道运动的氢原子模型